

This book was donated to the ISC  
 from the collection of  
 Professor Nicolas N Ambraseys  
 1929-2012

2K  
 p

## Zwölfter Bericht der Erdbebenwarte zu Leipzig.

$51^{\circ} 20' 6''$  nördl. Br.,  $39^{\text{m}} 34'$  östlich von Greenwich.

Die in Leipzig und Plauen während des Jahres 1909  
 aufgezeichneten Seismogramme.

Von

FRANZ ETZOLD.

Mit einer Tafel.

Während des Jahres 1909 sind in Leipzig von WIECHERTS Pendelseismometer insgesamt 105 Erdbeben aufgezeichnet worden, doch erstreckte sich die Beobachtungszeit nicht auf das volle Jahr, sondern nur auf 10 Monate. Das Triebwerk für das Registrierpapier, welches seit 1902 ununterbrochen im Gange gewesen war, begann nämlich im Herbst 1909 häufiger zu stocken. Ein rascher Ersatz durch ein neues Werk war nicht möglich, infolgedessen wurde am 4. November die Beobachtung völlig abgebrochen und konnte, da das neue Werk nicht gleich zur völligen Zufriedenheit funktionierte, erst Ende Dezember in der gewohnten, ununterbrochenen Weise wieder aufgenommen werden.

Die Herde der 105 im Jahre 1909 aufgezeichneten Erschütterungen sind zwar über den ganzen Erdball verstreut, doch zeichnet sich das mediterrane Schüttergebiet und dessen Nachbarschaft durch besonders energische Tätigkeit aus. So wurde am 13. Januar Norditalien und Südtirol, also die ganze Gegend zwischen Florenz und Innsbruck durch einen Stoß, z. T. heftig erschüttert. Ihm folgte bereits am 19. Januar ein nicht minder kräftiger in Kleinasien (Phokia). Am 23. April erregte auf der iberischen Halbinsel, ganz besonders in Portugal ein Beben Furcht und Schrecken. Am 30. Mai hat in ca. 1400 km Entfernung von uns ein starker Stoß stattgefunden, dessen Herd wahrscheinlich im Untergrunde der Balkan-

halbinsel gelegen war. Am 11. Juni verursachte eine starke Erschütterung, gefolgt von einer schwächeren an der französischen Riviera und in Südfrankreich mancherlei Schaden an Gebäuden. Am 15. Juli ereignete sich ein zerstörendes Beben in Griechenland (Elis). Wenige Wochen später, am 25. August wurde Siena und seine Umgebung von einem kräftigen Erdstoß heimgesucht. Endlich fanden am 8. und 9. Oktober in Agram mehrere kräftige Erbeben des Bodens statt. Es liegt nahe, alle diese Erschütterungen in kausalem Zusammenhang mit dem gewaltigen Stoße zu bringen, welcher am 28. Dezember 1908 Messina und Reggio in Trümmer legte. Dieselben dürften alsdann als lokale Auslösungen von Spannungen aufzufassen sein, welche sich als Folgen des katastrophalen Stoßes von Messina hier und da im gesamten mediterranen Bruchgebiet gebildet hatten.

Von Weltbeben, Panseismen, rührten folgende während des Jahres 1909 erhaltene Aufzeichnungen her: Am 23. Januar (Luristan in Persien), am 17. Mai (Bolivia), 7. Juli (Buchara), 30. Juli (Mexiko), 14. August (Japan), 21. Oktober (Belutschistan), 10. November (Zentralasien). Von diesen gewaltigen Beben, welche stundenlang den ganzen Erdball erschüttert haben, spielten sich also vier in dem großen innerasiatischen Schüttiergebiet ab.

Der vogtländisch-erzgebirgische, chronische Erdbebenherd, welcher im Spätherbst 1908 eine überaus energische Tätigkeit entfaltete, hat während des Jahres 1909 kein Beben hervorgebracht, das sich mikroseismisch bis Leipzig fortgepflanzt hätte, dahingegen sind viele Bewohner der Stadt Brandis nahe bei Leipzig am 13. November früh  $\frac{3}{4}$  durch einen rasselnden, die Betten bewegenden Erdstoß aufgeschreckt worden.

Die vom Seismometer aufgezeichneten, pulsatorischen, kaum an einem Tage vollkommen fehlenden Bewegungen waren, wie gewöhnlich, während der Winterszeit am anhaltendsten und kräftigsten. Besondere Intensität erreichten sie am 13., 14., 18. und 19. Januar, 9. und 10. Februar, 29. November bis 1. Dezember und 22.—23. Dezember. Schließlich haben am 3. und 4. Februar, 1., 2., 14. und 15. April, 28. und 29. Juli, 23., 29. und 30. Dezember heftige Stürme bis zu 1 cm weite Ausschläge der Indikatoren verursacht.

Das in unserer Nebenstation *Plauen* aufgestellte, kleinere WIECHERTSche Seismometer hat im Jahre 1909 ununterbrochen zur Zufriedenheit gearbeitet und im ganzen 19 Erdbeben aufgezeichnet.

### Tabellarische Zusammenstellung der in Leipzig und Plauen während des Jahres 1909 aufgezeichneten Seismogramme.

In der tabellarischen Zusammenstellung sind wie früher folgende Abkürzungen, welche wiederum denen der „Göttinger wöchentlichen Erdbebenberichte“ entsprechen, angewendet worden.

#### Charakter des Erdbebens.

##### a) In bezug auf die Stärke seiner Aufzeichnung.

I = merklich,

II = auffallend,

III = stark.

##### b) In bezug auf die Lage des Herdes zum Beobachtungsort.

d = Ortsbeben (*terrae motus domesticus*), am Orte fühlbar.

v = Nahbeben (*terrae motus vicinus*), unter 1000 km.

r = Fernbeben (*terrae motus remotus*), 1000 bis 5000 km.

u = sehr fernes Beben (*terrae motus ultimus*), über 5000 km.

Es bedeutet hiernach z. B. „*Iu*“: Ein sehr fernes Erdbeben hat sich so aufgezeichnet, daß die Registrierlinien durch die seismischen Schwingungen merklich gewellt erscheinen, daß also die Schreibnadeln um Beträge von etwa 1 mm zur Seite geführt wurden sind.

#### Phasen.

P = erste Vorläufer (*undae primae*),

S = zweite Vorläufer (*undae secundae*),

L = Hauptbeben (*undae longae*),

M = besonders große Bewegungen im Hauptbeben (*undae maximae*),

F = Erlöschen der sichtbaren Bewegung (*finis*).

#### Art der Bewegung.

i = Einsatz (*impetus*),

e = allmähliches Auftauchen (*emersio*).

Demnach bedeutet z. B. „*Pi*“: Der erste Vorläufer setzt scharf mit einer Schwingung von meßbarer Größe ein, dagegen bedeutet „*Le*“: Die langen Wellen des Hauptbebens entwickeln sich allmählich aus denen des zweiten Vorläufers (*S*), so daß man keine scharfe Abgrenzung zwischen beiden Phasen machen kann.

*Maße der Schwingungen.*

*T* bedeutet die Periode oder die doppelte Schwingungsdauer, dieselbe wird nach Sekunden angegeben.

*A* ist die Amplitude der Erdbewegung (Maß der wirklichen Bodenbewegung am Standorte des Seismometers), gerechnet von einer Seite zur anderen. *A<sub>NS</sub>* ist die Amplitude für die Nordsüdkomponente, *A<sub>OW</sub>* die Amplitude für die Ostwestkomponente. Als Grundmaß dient hier das Mikron,  $\mu = 0,001$  mm.

No.	Datum	Charak- ter	Phasen	Zeiten (M E Z) h m s	Perio- den sek.	Amplituden		Bemerkungen
						NS	$\mu$ <i>OW</i>	
1.	1. Jan.	<i>I</i>	<i>L<sup>e</sup></i> <i>M</i> <i>F</i>	22 48 30 22 50 40 23 7 —	8	1,5	0,5	Bei der <i>NS</i> -Komponente durch Pulsationen stark ver- wirbelt.
2.	4. Jan.	<i>I</i>	<i>e</i> <i>M</i> <i>F</i>	23 25 — 23 31 — 23 45 —	20	5	4	Durch die Pulsationen machen sich lange seismische Wellen bemerklich.
3.	13. Jan.	<i>IV</i>	<i>P<sup>i</sup></i> <i>(S)</i> <i>(L<sup>e</sup>)</i>	1 47 12 1 48 36 1 49 18	< 1 0,6			In Norditalien und Südtirol gefühlt (von Flörenz bis Innsbruck). Der Beginn der <i>Hauptphase</i> tritt nicht deut- lich hervor.
4.	19. Jan.	<i>Ir</i>	<i>P</i> <i>S</i> <i>L</i> <i>M</i> <i>M</i> <i>M</i> <i>F</i>	6 0 25 6 3 15 6 5 — 6 6 15 6 6 50 6 10 15 6 24 —	1,5	18	38	In Plauen aufgezeichnet, <i>P</i> nicht erkennbar, die Haupt- phase ziemlich kräftig.
5.	23. Jan.	<i>III r</i>	<i>P<sup>i</sup></i> <i>S</i> <i>i</i> <i>i</i>	3 54 50 — 4 2 10 4 4 23	< 1 4 10 8	10 13 10 10	9 5 20 10	Starkes Beben in Kleinasien (Phokia). Die seismischen Wellen sind durch Pulsationen etwas beeinträchtigt. <i>P</i> ist bei der <i>OW</i> -Komponente besonders gut erkennbar, der Anfang der <i>Hauptphase</i> aber undeutlich.
								In Plauen ohne mit der <i>Tupe</i> erkennbar aufgezeichnet.
								Zerstörendes Beben in Luristan (Persien). Bei der <i>NS</i> - Komponente fällt <i>P</i> auf 54 m 53.
								Die Plauensche Aufzeichnung steht aus wie eine Ver- kleinerung der Leipzig's.

No.	Datum	Charak- ter	Phasen	Zeiten (MEZ)		Perio- den sek.	Amplituden		Bemerkungen
				h	m		NS	$\mu$	
6.	29. Jan.	<i>Iu</i>	<i>Le</i>	4	6	30	22	1000	650
			<i>M</i>	4	7	40			
			<i>M</i>	4	9	32			
			<i>M</i>	4	11	6			
			<i>M</i>	4	13	36			
			<i>C</i>						
			<i>F</i>	6	--	--			
7.	2. Febr.	<i>Iu</i>	<i>e</i>	2	34	30	20	5	Von der NS-Komponente sehr schwach aufgezeichnet.
			<i>M</i>	2	42	40			
			<i>M</i>	2	48	--			
			<i>F</i>	3	--	--			
8.	6. Febr.	<i>Iu</i>	<i>e</i>	21	9	--	24	5	Von der NS-Komponente sehr schwach aufgezeichnet.
			<i>M</i>	21	28	--			
			<i>F</i>	21	45	--			
9.	9. Febr.	<i>IIr</i>	<i>Pi</i>	12	28	44	1	4,5	Bei der NS-Komponente sehr flache Wellen.
			<i>S</i>	12	32	41			
			<i>i</i>	12	32	45			
			<i>Le</i>	12	35	15			
			<i>M</i>	12	37	50			
			<i>M</i>	12	38	52			
10.	9. Febr.	<i>Ir</i>	<i>M</i>	12	41	26	1	3	Das Beben ging offenbar von demselben Herd aus wie das vorige, ist aber wesentlich schwächer. Die Hauptphase ist nicht abzugrenzen und beginnt mit langen unmeßbaren Wellen, das Ende fällt in den Papierwechsel.
			<i>F</i>	13	30	--			
			<i>Pi</i>	15	43	13			
			<i>i</i>	15	43	17			
			<i>S</i>	15	47	13			
			<i>M</i>	15	53	30			
			<i>F</i>	?					
11.	9. Febr.	<i>Ir</i>	<i>Pi</i>	21	54	45	2,5	3	Auch dieses Beben ging von demselben Herd aus wie No. 9. Die Wellen sind durch überlagerte ziemlich kräftige Pulsationen verdeckt.
			<i>S</i>	21	58	43			
			<i>Le</i>	22	--	30			
			<i>M</i>	22	2	50			
			<i>M</i>	22	4	50			
			<i>F</i>	22	30	--			
12.	13. Febr.	<i>Iu</i>	<i>e</i>	5	3	30	20	10	Infolge einer Nullpunktverlegung sind die Linien durcheinander gelaufen.
			<i>M</i>	5	4	30			
			<i>F</i>	5	30	--			
13.	14. Febr.	<i>Ir</i>	<i>P</i>	16	51	32	< 1	1	Augenscheinlich sind dem ersten Stoß mindestens zwei weitere gefolgt, denn 16h 55m 50s und 16h 56m 50s haben sich wieder rasche Schwingungen aufgezeichnet, auch sind die Hauptphasenwellen durch interferierende gestört.
			<i>S</i>	16	55	30			
			<i>Le</i>	16	59	30			
			<i>M</i>	17	--	10			
			<i>F</i>	17	20	--			

FRANZ ERZOLD

No.	Datum	Charak- ter	Phasen	Zeiten (MEZ)	Perio- den sek.	Amplituden	NS	$\mu$	OW	Bemerkungen
				h	m	s				
10.	9. Febr.	<i>Ir</i>	<i>M</i>	12	41	26				
			<i>F</i>	13	30	--				
11.	9. Febr.	<i>Ir</i>	<i>Pi</i>	15	43	13	1			
			<i>i</i>	15	43	17	4			
			<i>S</i>	15	47	13	6			
			<i>M</i>	15	53	30	13			
			<i>F</i>	?						
12.	13. Febr.	<i>Iu</i>	<i>Pi</i>	21	54	45	2,5			
			<i>S</i>	21	58	43	6			
			<i>Le</i>	22	--	30				
			<i>M</i>	22	2	50	20			
			<i>M</i>	22	4	50	15			
			<i>F</i>	22	30	--	12			
13.	14. Febr.	<i>Ir</i>	<i>P</i>	16	51	32	< 1			
			<i>S</i>	16	55	30	ca. 4			
			<i>Le</i>	16	59	30	ca. 6			
			<i>M</i>	17	--	10	8			
			<i>F</i>	17	20	--	2			

ZWÖLFTER BERICHT DER EIDENOMENWARTE ZU LEIPZIG.

No.	Datum	Charak- ter	Phasen	Zeiten (MEZ) h m s	Perio- den sek.	Amplituden			Bemerkungen
						NS	$\mu$	OW	
14.	15. Febr.	Ir	e	2 20 —	8?	2?	2?		Durch die Pulsationen hindurch machen sich seismische, nicht sicher messbare Wellen bemerklich.
			M	2 23 50					
			F	2 40 —					
15.	15. Febr.	II	e	10 39 50	9	13	28		Durch Pulsationen erheblich beeinträchtigt. Bei der NS-Komponente sind infolge einer Nullpunktverlegung die Linien durcheinander gelaufen.
			Le	10 41 20					
			M	10 42 20					
			M	10 43 10					
			F	11 — —					
16.	16. Febr.	I	e	9 30 —	10	4			Durch die Pulsationen hindurch machen sich seismische Wellen bemerklich.
			Le	9 36 30					
			M	9 38 10					
			F	10					
17.	16. Febr.	I	e	19 45 —	ca. 20				Hin und wieder ganz flache lange Wellen.
			F	20 20 —					
18.	19. Febr.	I	e	11 12 —	ca. 12				Vereinzelte sehr flache Wellen.
			M	11 17 —					
			F	11 25 —					
19.	22. Febr.	I	Pi	10 40 21	< 1	3	2	12	Bei der NS-Komponente sind die Linien durcheinander gelaufen. Eine Phasengliederung ist unmöglich, auf die ziemlich kräftigen ersten Vorläufer folgen ganz unregelmäßige Wellen, unter denen sich nur mitunter eine durch etwas längere Periode abhebt.
			e	10 46 7					
			e(S?)	11 1 45					
			e	11 5 20					

FRANZ ETZOLD:

No.	Datum	Charak- ter	Phasen	Zeiten (MEZ) h m s	Perio- den sek.	Amplituden			Bemerkungen
						NS	$\mu$	OW	
20.	23. Febr.	Ir	e	11 19 45	< 1	18	4	4	Bei der NS-Komponente sind die Linien durcheinander gelaufen.
			e	11 24 15					
			e	11 33 25					
			F	12 15					
21.	26. Febr.	Iu	Pi	15 21 —	10	3	5		
			S	15 24 55					
			Le	15 28 15					
			M	15 30 30					
			F	15 50					
			S	18 10 6		11	9	42	
			i	18 10 30					
22.	1. März	Iu	Le	18 27 —					
			M	18 31 —					
			M	18 32 45					
			M	18 36 45					
			F	19 — —					
			e	3 3 —	ca. 18	5	4		Zwischen den Pulsationen machen sich lange flache Wellen bemerklich.
23.	7. März	Iu	F	3 13 —					
			Le	20 8 —	20	5	4		
			M	20 12 45					
			F'	21 23 —					

ZWÖLFTE RICHTERBERICHT DER ERDREMENWARTE ZU LEIPZIG.

No.	Datum	Charak- ter	Phasen	Zeiten (MEZ) h m s	Perio- den sek.	Amplituden $\mu$		Bemerkungen
						NS	OW	
24.	8. März	<i>Iu</i>	<i>e</i>	12 47 —				
			<i>Le</i>	13 28 —				
			<i>M</i>	13 41 —	20	II	5	
			<i>F</i>	14 20				
25.	10. März	<i>I</i>	<i>e</i>	23 42 15	< 1			
			<i>c</i>	23 43 15	9	1		
			<i>M</i>	23 46 45	8	1	2	
			<i>F</i>	23 50 —				
26.	11. März	<i>Iu</i>	<i>Pi</i>	1 7 35	< 1			
			<i>S</i>	1 17 59	6			
			<i>Le</i>	1 39 30				
			<i>M</i>	1 41 30	25		35	
			<i>M</i>	1 44 50	23		35	
			<i>M</i>	1 48 45	15		12	
			<i>F</i>	2 35 —				
			<i>e</i>	22 16 —				
27.	11. März	<i>Iu</i>	<i>M</i>	22 19 —	18	3	2	
			<i>F</i>	22 30 —				
			<i>e</i>	2 7 —				
28.	12. März	<i>Iu</i>	<i>M</i>	2 15 —	18	2	2	
			<i>F</i>	2 30 —				
			<i>e</i>	2 7 —				
29.	13. März	<i>IIu</i>	<i>Pe</i>	12 31 —	4	1	1	
			<i>Se</i>	12 41 15	10	3	2	
			<i>i</i>	12 50 30	14	9	6	Herdentfernung ca. 9000 km.

No.	Datum	Charak- ter	Phasen	Zeiten (MEZ) h m s	Perio- den sek.	Amplituden $\mu$		Bemerkungen
						NS	OW	
30.	13. März	<i>IIu</i>	<i>Le</i>	1 — 15				
			<i>M</i>	1 7 10	18	55	68	
			<i>M</i>	1 8 —	14	50	30	
			<i>M</i>	1 10 40	14	37	30	
			<i>M</i>	1 11 30	15		80	
			<i>M</i>	1 13 10	15	66	35	
			<i>M</i>	1 14 20	14	50		
			<i>F</i>	3 — —				
			<i>Pi</i>	15 41 23	3	6	3	
			<i>i</i>	15 44 45	4	4,5	4	
31.	18. März	<i>Iu</i>	<i>S</i>	15 51 40	6	9	5	Herdentfernung ca. 9000 km. In Plauen scharf aufgezeichnet.
			<i>i</i>	15 57 30	13		15	
			<i>Le</i>	16 9 —				
			<i>M</i>	16 15 55	19	100	130	
			<i>M</i>	16 18 5	17	145	132	
			<i>M</i>	16 19 15	15	120	80	
			<i>F</i>	18 15 —				
			<i>e</i>	0 12 40	4	< 1	< 1	
		<i>Iu</i>	<i>e</i>	0 20 40	12			
			<i>e</i>	0 26 20	22			
			<i>Le</i>	0 40 30				
			<i>M</i>	0 44 —	40	50	38	
			<i>M</i>	0 51 15	26	80	45	
			<i>M</i>	1 — —	27	45	35	
			<i>F</i>	2 45 —				

No.	Datum	Charak- ter	Phasen	Zeiten (MEZ) h m s	Perio- den sek.	Amplituden		Bemerkungen
						NS	$\mu$	
32.	22. März	<i>Iu</i>	<i>e</i>	6 10 40				
			<i>M</i>	6 17 50	14	7	5	
			<i>M</i>	6 23 —	11	2	2	
			<i>F</i>	6 40 —				
33.	22. März	<i>Iu</i>	<i>e</i> (?)	21 13 40	< 1			
			<i>e</i>	21 26 10	6	4	2	
			<i>Le</i>	21 48 30				
			<i>M</i>	21 50 20	25	18	14	
			<i>M</i>	21 54 40	16	12	15	
			<i>F</i>	22 40 —				
34.	3. April	<i>Ir</i>	<i>Pi</i>	3 40 8	4	< 1	< 1	
			<i>S</i>	3 44 8	6			
			<i>Le</i>	3 46 50				
			<i>M</i>	3 50 50	11	3	2	
			<i>F</i>	4 20 —				
35.	10. April	<i>IIu</i>	<i>Pe</i>	6 47 30	< 1			
			<i>e</i>	6 49 30	6	2	2	
			<i>e</i>	7 —	8	2	1	
			<i>e</i>	7 10 30	11		5,5	
			<i>Le</i>	7 30 —				
			<i>M</i>	7 43 —	27	45	33	
			<i>M</i>	7 48 30	22		60	
			<i>M</i>	7 53 20	20		40	
			<i>F</i>	9 10 —				

No.	Datum	Charak- ter	Phasen	Zeiten (MEZ) h m s	Perio- den sek.	Amplituden		Bemerkungen
						NS	$\mu$	
36.	10. April	<i>IIu</i>	<i>Pe</i>	19 55 6	1,3	3	2	Geht in das folgende Beben über. In Plauen mit ganz flachen Wellen aufgezeichnet.
			<i>e</i>	19 56 30	17		9	
			<i>S</i>	20 1 40	9	2,5	3	
			<i>L</i>	20 10 —				
			<i>M</i>	20 13 30	18	85	85	
			<i>M</i>	20 16 25	13	25	18	
			<i>M</i>	20 19 30	12	15	15	
			<i>C</i>	?	12—8			
37.	10. April	<i>IIu</i>	<i>Pe</i>	20 46 40	ca. 1	1	1	In der Plauenschen Aufzeichnung heben sich deutlich drei Maxima hervor.
			<i>S</i>	20 55 55	6	3	2,5	
			<i>L</i>	21 12 —				
			<i>M</i>	21 20 25	18	90	135	
			<i>M</i>	21 21 40	17	80	78	
			<i>M</i>	21 27 40	15	44	40	
			<i>F</i>	22 50 —				
38.	11. April	<i>I</i>	<i>P</i>	5 4 55				<i>P</i> ist unsicher, da das Glockengeläute anlässlich des Osterfestes die Aufzeichnung gestört hat.
			<i>L</i>	5 19 40				
			<i>M</i>	5 22 20	15		6	
			<i>M</i>	5 23 50	14	6	5	
			<i>F</i>	5 50 —				
39.	11. April	<i>Iu</i>	<i>P</i>	15 11 56				
			<i>S</i>	15 21 26	4	1	1	
			<i>L</i>	15 40 —				

No.	Datum	Charak- ter	Phasen	Zeiten (MEZ)		Perio- den sek.	Amplituden $\mu$		Bemerkungen
				h	m		NS	OW	
40.	11. April	<i>Iu</i>	<i>M</i>	15	42	—	24	8	Sehr flache Wellen.
			<i>M</i>	15	46	—	16	4	
			<i>F</i>	16	15	—		6	
41.	12. April	<i>Iu</i>	<i>e</i>	21	34	—			Die NS-Komponente hat nicht geschrieben.
			<i>M</i>	21	43	—	ca. 15		
			<i>F</i>	22	—	—			
42.	14. April	<i>IIu</i>	<i>e</i>	21	7	—	3	1,5	Die OW-Komponente hat nicht geschrieben. Die Aufzeichnung ist durch Sturm sehr beeinträchtigt, insbesondere ist der Anfang der Hauptphase verwischt.
			<i>S</i>	21	17	6	8	6	
			<i>i</i>	21	19	15	6	4	
			<i>L(?)</i>	21	33	—			
			<i>M</i>	21	38	40	8	20	
			<i>M</i>	21	41	—	8	12	
			<i>F</i>	22	20	—			
			<i>P</i>	18	44	3	4	8	Starkes Beben in Portugal. (Vgl. Taf. I, Fig. 4a u. 4b.) Bei dem Plauenschen Seismogramm sind die ersten Vorläufer eben erkennbar, die Hauptphase aber ist sehr scharf und kräftig aufgezeichnet und ähnelt in hohem Grade der in Leipzig von der NS-Komponente erhaltenen.
43.	23. April	<i>IIr</i>	<i>S</i>	18	47	51	10	4,5	
			<i>L</i>	18	50	21	7	26	
			<i>M</i>	18	51	36	9	50	
			<i>F</i>	19	40	—		63	

FRANZ ERZOLD:

No.	Datum	Charak- ter	Phasen	Zeiten (MEZ)		Perio- den sek.	Amplituden $\mu$		Bemerkungen
				h	m		NS	OW	
44.	25. April	<i>Iu</i>	<i>e</i>	23	46	—			Sehr flache Wellen.
			<i>M</i>	23	49	30	20	4	
			<i>F</i>	24	—	—			
45.	26. April	<i>Iu</i>	<i>e</i>	0	26	30			Sehr flache Wellen.
			<i>M</i>	0	31	—	26	13	
			<i>M</i>	0	38	30	20	5	
			<i>F</i>	1	—	—			
46.	27. April	<i>Iu</i>	<i>S(?)</i>	14	10	—	8		1,5
			<i>L</i>	14	34	30			
			<i>M</i>	14	43	25	23	30	
			<i>M</i>	14	44	45	21	75	
			<i>M</i>	14	47	—	21		
			<i>F</i>	15	50	—			
47.	30. April	<i>Iu</i>	<i>S(?)</i>	0	5	—	9	2	2
			<i>Le</i>	0	23	30			
			<i>M</i>	0	34	50	30	27	
			<i>M</i>	0	37	25	16	13	
			<i>M</i>	0	41	—	14	12	
			<i>F</i>	1	30	—			
48.	30. April	<i>Iu</i>	<i>e</i>	10	4	—			Aus den Tagesstörungen und Pulsationen tauchen vereinzelte lange Wellen auf.
			<i>M</i>	10	9	—			
			<i>F</i>	10	20	—			

ZWÖLFTE BERICHT DER ERDWERKSWARTE ZU LEIPZIG.

Leipzig

18

No.	Datum	Charakter	Phasen	Zeiten (MEZ)			Perio- den sek.	Amplituden $\mu$		Bemerkungen
				h	m	s		NS	OW	
49.	1. Mai	<i>Iu</i>	<i>c</i>	23	49	—	15	2	I	Abgesehen von den ersten Vorläufern eine sehr unklare Aufzeichnung, man sieht nur hin und wieder einige flache Wellen, die keinerlei Phasengliederung zulassen.
			<i>M</i>	23	51	30				
			<i>F</i>	24						
50.	2. Mai	<i>I</i>	<i>P</i>	8	16	34	4	I	I,5	Abgesehen von den ersten Vorläufern eine sehr unklare Aufzeichnung, man sieht nur hin und wieder einige flache Wellen, die keinerlei Phasengliederung zulassen.
			<i>e</i>	8	43	—				
			<i>e</i>	9	12	—				
			<i>F</i>	9	20	—				
51.	12. Mai	<i>Iu</i>	<i>e</i>	1	22	50	10	2,5	2	Zwei schwache Einsätze, das Weiteres fällt in den Papierwechsel.
			<i>e</i>	1	30	—				
			<i>Le</i>	1	50	30				
			<i>M</i>	1	54	50				
			<i>M</i>	2	3	50				
			<i>F</i>	2	20	—				
52.	13. Mai	<i>I</i>	<i>e</i>	14	57	50	6	I	I	Dem Anschein nach zwei Beben. Zu entsprechender Zeit wurde in Bolivia eine Erschütterung verspürt. Die Hauptphasen sind sehr undeutlich, da sich die Wellen überlagern.
			<i>e</i>	15	1	5				
			<i>F</i>		?					
53.	17. Mai	<i>IIu</i>	<i>P</i>	9	16	11	< 1	2	In Plauen in Gestalt langer flacher Wellen aufgezeichnet.	
			<i>i</i>	9	19	57				
			<i>S</i>	9	26	11				
			<i>i</i>	9	27	20				
			<i>S</i>	9	28	23				
			<i>i</i>	9	29	20				

FRANZ ETZOLD:

No.	Datum	Charak- ter	Phasen	Zeiten (MEZ)			Perio- den sek.	Amplituden $\mu$		Bemerkungen			
				h	m	s		NS	OW				
54.	18. Mai	<i>Iu</i>	<i>L</i>	9	43	—	ca. 30	33	26	Sehr flache Wellen.			
			<i>M</i>	9	50	—	15						
			<i>F</i>	10	50	—							
			<i>e</i>	18	26	—	ca. 15						
			<i>M</i>	18	31	—							
			<i>F</i>	18	40	—							
55.	26. Mai	<i>Iu</i>	<i>e</i>	3	34	15	ca. 8	25	21	Flache Wellen. Möglicherweise gehören die beiden <i>M</i> den Hauptphasen zweier Fortbeben an.			
			<i>Le</i>	3	55	—							
			<i>M</i>	4	3	30	30						
			<i>M</i>	4	13	15	26						
			<i>F</i>	5	—	—							
			<i>P</i>	7	18	19	< 1						
56.	30. Mai	<i>IIr</i>	<i>S</i>	7	21	20	4	3,5	2,5	Herd ca. 1600 km. In Plauen ist nur das Hauptbeben scharf aufgezeichnet			
			<i>L</i>	7	23	10	9						
			<i>M</i>	7	24	—	8						
			<i>M</i>	7	24	30	9						
			<i>M</i>	7	25	30	6						
			<i>F</i>	8	15	—							
			<i>i</i>	22	20	2	< 1						
57.	30. Mai	<i>Iu</i>	<i>i</i>	22	20	45	6	2	2	Bei der NS-Komponente fehlt die Zeitmarkierung.			
			<i>S</i>	22	29	45	8						
			<i>i</i>	22	31	45	8						

ZWÖLFTE BERICHT DER ERDBEBENWARTE ZU LEIPZIG

61

No.	Datum	Charak- ter	Phasen	Zeiten (MEZ) h m s	Perio- den sek.	Amplituden		Bemerkungen
						NS	μ OW	
58.	3. Juni	IIIu	i	22 37 —	16		8	Weder S noch L sind deutlich abgehoben. Die Plauensche Aufzeichnung weist P scharf, die Hauptphase zunächst in Gestalt langer flacher, später aber kürzerer und kräftigerer Wellen auf.
			Le	22 53 40			10	
			M	23 2 50	21		8	
			M	23 8 20	20			
			F	23 40 —				
			P	19 53 52	< 1			
			i	20 4 9	8		5	
			i	20 4 42	10	26	14	
			(?) S	20 11 25	12	11	12	
			(?) Le	20 17 30		200	150	
			M	20 26 30	40	200		
			M	20 29 30	30	200	200	
			M	20 35 50	24	400		
			M	20 39 30	20		112	
			M	20 40 45	20	220		
59.	6. Juni	Iu	M	20 46 —	15	80	43	
			M	20 48 10	14	60		
			M	20 57 —	17	55	70	
			F	22 50 —				
			e	6 19 0	6		0,5	
60.	8. Juni	IIIu	Le	6 49 —				In Plauen in Gestalt langer flacher Wellen aufgezeichnet.
			M	6 59 30	15	5	3	
			F	7 30 —				
			e	7 4 37	6		1	
			e	7 11 15	8		1,5	
			S	7 14 50	10	3	7	

FRANZ EITZOLD:

No.	Datum	Charak- ter	Phasen	Zeiten (MEZ) h m s	Perio- den sek.	Amplituden		Bemerkungen
						NS	μ OW	
61.	9. Juni	I	Le	7 33 30				Zerstörendes Beben an der französischen Riviera. Die Nachläufer gehen in das folgende Beben über, zu ihnen gehören wahrscheinlich die von den raschen Schwingungen überlagerten langsameren Wellen während der Hauptphase des letzteren. (Taf. I Fig. 2a u. 2b.) Im Plauenschen Seismogramm ist P nicht sicher erkennbar, dagegen die Hauptphase sehr scharf und kräftig.
			M	7 37 15	40	180	150	
			M	7 42 —	30	200	160	
			M	7 43 20	23		230	
			M	7 48 55	20	45	155	
			F	9 20 —				
			e	1 55 20	10		1,5	
			Le	2 19 30				
			M	2 25 50	22	9	15	
			M	2 29 40	20	5	12	
62.	11. Juni	IIr	F	3 — —				Die Vorphasenwellen überlagern die Nachläufer des vorigen Bebens.
			Pe	22 8 25	< 1	< 1	< 1	
			i	22 8 50	1		4	
			Se	22 9 45	1			
			L	22 10 40	18	8	14	
63.	11. Juni	I	M	22 11 13	8,5	60	50	Sehr flache Wellen.
			F'	?				
			c	22 40 30	< 1			
			M	22 41 —	4	1	1	
64.	12. Juni	Iu	F'	22 47 —				
			e	22 11 15				
			Le	22 37 45				
			M	22 45 45	24	8	12	

No.	Datum	Charak- ter	Phasen	Zeiten (MEZ)		Perio- den sek.	Amplituden		Bemerkungen
				h	m		NS	$\mu$	
65.	16. Juni	IIr	M	23	—	45	20	5	10
			F	24	—	—			
			P	0	33	59	< 1		
			S	0	36	37	3		
			Le	0	38	30	8	1	
			M	0	39	10	8		
66.	19. Juni	I	M	0	39	50	12	16	
			F	1	10	—	8	16	
			e	18	53	20			
			M	18	56	—	9		
67.	27. Juni	Iu	F	19	6	—			
			e	8	38	10	8		
			e	8	56	15	14		
			Le	9	17	30			
			M	9	33	50	25	18	
			M	9	37	45	20	22	
68.	3. Juli	I	F	10	50	—			
			e	20	57	23	8		
			Le	21	1	—			
			M	21	1	25	12	2,5	
			M	21	2	30	10	1,5	
			F	21	20	—			

Die Aufzeichnung macht sich durch die Tagesstörungen hindurch nur sehr wenig bemerklich.

FRANZ ERZOLD:

No.	Datum	Charak- ter	Phasen	Zeiten (MEZ)		Perio- den sek.	Amplituden		Bemerkungen
				h	m		NS	$\mu$	
69.	6. Juli	Ir	e	18	1	5	2		
			Le	18	5	30			
			M	18	8	—	10	3	
			M	18	9	—	10	1	
			M	18	11	30	10	1,5	
			F	18	30	—			
70.	6. Juli	Ir	e	20	20	40	4	< 1	
			Le	20	26	—			
			M	20	27	30	12		
			M	20	27	50	10	1,5	
			F	20	40	—			
71.	7. Juli	IIIr	Pi	22	45	34	6	15	40
			i	22	47	22	8	15	25
			i	22	48	30	11	60	140
			Si	22	51	45	11	235	180
			i	22	53	10	20	—	440
			i	22	55	19	11	325	150
			M	22	59	—	9		85
			M	23	—	30	12	140	220
			M	23	2	20	10	155	
			F	1	—	—			
72.	8. Juli	I	e	14	35	20	8	2	
			Le	14	42	30			
			M	14	51	30	12		
			F	15	20	—			
73.	13. Juli	I	e	14	35	20	8	2	
			Le	14	42	30			
			M	14	51	30	12		
			F	15	20	—			

Verheerendes Beben in Buchara. Augenscheinlich ist auf den 1. Stoß nach ca. 1m  $10^4$  ein zweiter gefolgt.  
In Plauen sehr scharf und kräftig aufgezeichnet, nur P ist nicht erkennbar.

Durch die Tagesstörungen sehr beeinträchtigte Aufzeichnung.

No.	Datum	Charak- ter	Phasen	Zeiten (MEZ) h m s	Perio- den sek.	Amplituden			Bemerkungen
						NS	$\mu$	OW	
73.	15. Juli	IIr	Pi	1 38 41	< 1				Starkes Beben in Griechenland (Elis). (Vgl. Taf. I Fig. 3a u. 3b.) In Plauen nur eben erkennbar aufgezeichnet.
			Si	1 41 38	9	3	4		
			Le	1 43 20					
			M	1 43 55	10	16	25		
			M	1 44 22	8	10	18		
			M	1 44 55	12		32		
			M	1 47 10	10	11			
			F	2 30 —					
74.	26. Juli	Iu	P	12 2 55	4				Bei der NS-Komponente ist der starken Tagesstörungen wegen von den seismischen Wellen fast nichts zu erkennen.
			S	12 10 25	8				
			e	12 14 20	15				
			L	12 20 50					
			M	12 26 55	19				
			M	12 29 25	19				
			F	13 — —					
75.	30. Juli	IIIu	P	12 4 50	8	1,5		2	Verheerendes Beben in Mexiko. (Die kräftigen Beben, welche am 31. Juli gleichfalls in Mexiko stattgefunden haben, sind infolge Stockens des Triebwerkes nicht aufgezeichnet worden.)
			i	12 8 26	8	3	16		
			S	12 15 40	12			9	
			i	12 16 15	9	22	21		
			Le	12 34 15					
			M	12 38 50	30	108	150		
			M	12 15 30	22	125	215		
			M	12 49 10	20	130	230		
			M	12 59 5	20	88	112		
			M	13 3 45	19	70	100		
			M	13 6 5	15	35	45		
			F	15 — —					

No.	Datum	Charak- ter	Phasen	Zeiten (MEZ) h m s	Perio- den sek.	Amplituden			Bemerkungen
						NS	$\mu$	OW	
76.	5. Aug.	I	e	3 47 —	11	1,5	1		Wenige flache Wellen.
			F	4 7 —					
77.	14. Aug.	IIu	S	7 52 —	15				Zerstörendes Beben in Japan. Die Aufzeichnung ist wenig befriedigend, da der Indikator der OW-Komponente ein Fäserchen mitgeschleppt hat, und bei der NS-Komponente die Tagesstörungen sehr schädigend gewirkt haben.
			Le	8 13 —					
			M	8 17 45		66	64		
			M	8 19 45		42	30		
			M	8 21 40		42			
			F	9 — —					
78.	16. Aug.	Iu	Le	8 35 15	30				
			M	8 40 15		30	42		
			M	8 44 50		26	28		
			M	8 48 50		34	34		
			F	9 20 —					
79.	18. Aug.	Iu	Pi	1 59 21	< 1				
			S	2 9 25		3	3		
			e	2 22 55		6	2,5		
			M	2 48 55		11	2		
			M	2 56 40		36	38		
			M	3 3 —		30	40	10	
80.	18. Aug.		F	4 — —	ca. 15	27	8		Wenige, sehr flache Wellen.
			e	4 36 —					
			M	4 40 —					
			F	4 50 —					

No.	Datum	Charak. ter	Phasen	Zeiten (MEZ)			Perio- den sek.	Amplituden			Bemerkungen
				h	m	s		NS	$\mu$	OW	
81.	25. Aug.	Iv	e L M F ?	1	25	39	< 1	< 1	< 1		Beben von zerstörend wirkender Heftigkeit in Siena. Bei dieser Energie fällt auf, daß im Seismogramm die Vorphasen sehr dürlig entwickelt sind, die ersten Vorläufer überhaupt fehlen.
82.	25. Aug.	Iv	e L F ?	1	34	30	< 1	1	1	3	Die Vorphasenwellen überlagern die Nachläufer des vorherigen Bebens.
83.	29. Aug.	Iu	Le M M F	11	15	—	20	5	10	2,5	Flache Wellen.
84.	30. Aug.	Iu	Le M F	14	42	—	20			8	Bei der NS-Komponente durch Wind und Tagesstörungen völlig verwischt.
85.	7. Sept.	Iu	P Se Le(?) M M F	16	38	20	5	< 1	< 1		Durch starke Tagesstörungen sehr beeinträchtigt.
86.	8. Sept.	Iu	Pi Si i	18	1	28	4	11	11	3	
				18	11	12	11			8	
				18	11	40	7	10	10	7	

No.	Datum	Charak. ter	Phasen	Zeiten (MEZ)			Perio- den sek.	Amplituden			Bemerkungen
				h	m	s		NS	$\mu$	OW	
			Le M M M F	18	30	—					
				18	36	10	21	50	28		
				18	41	10	21	30	28		
				18	46	—	20	10	17		
87.	9. Sept.	Iu	Le M F	1	15	—					
				1	20	—	18	8	7		
				1	40	—					
88.	11. Sept.	Iu	e Le M F	6	9	35	6				
				6	21	40					
				6	25	35	18			6	
				6	50	—					
89.	11. Sept.	Iu	e Le M M F	12	15	45	6				
				12	42	—					
				12	48	20	27			16	
				12	54	—	20	7	12		
				13	25	—					
90.	16. Sept.	Iu	Pc S Le M M F	20	50	50	< 1				
				21	—	55	6	4	4		
				21	22	15					
				21	23	50	15	12	9		
				21	28	30	10	5	3		
				21	50	—					

No.	Datum	Charak- ter	Phasen	Zeiten (MEZ) h m s	Perio- den sek.	Amplituden $\mu$		Bemerkungen
						NS	OW	
91.	19. Sept.	Iu	e F	21 54 — 22 4 —				Außerordentlich flache Wellen.
92.	19. Sept.	Iu	Le M M F	23 1 — 23 2 15 23 3 30 23 15 —	12 8	4	1	
93.	22. Sept.	Iu	S L M F	16 5 — 17 22 — 17 25 — 17 50 —	10 30		1 21	Aus den Pulsationen tauchen lange flache Wellen auf.
94.	2. Okt.	I	Le M F	19 50 — 19 53 30 20 10 —	14		2	
95.	2. Okt.	I	e M F	22 50 25 22 55 10 23 — —	12		1,5	
96.	8. Okt.	IIv	P i i S L M M F	11 — 53 11 1 13 11 1 25 11 2 17 11 2 40 11 2 50 11 3 15 11 3 5 —	< 1 ca. 1 ca. 1 1,25 — 4 8	160 60	240 85	Starkes Beben in Agram (vgl. Taf. I Fig. 1a u. 1b). Die langen Hauptphasenwellen werden von kurzperiodischen überlagert. In Plauen sehr scharf und kräftig aufgezeichnet, nur P fehlt.

No.	Datum	Charak- ter	Phasen	Zeiten (MEZ) h m s	Perio- den sek.	Amplituden $\mu$		Bemerkungen
						NS	OW	
97.	8. Okt.	Iv	e M F	12 1 50 12 3 — 12 4 15	1—1,25 1,5			Eben deutlich bemerkbaro rasche Schwingungen.
98.	9. Okt.	Iv	e i L M F	6 38 58 6 40 15 6 40 28 6 40 41 6 47 —	< 1 1,25 — 6	ca. 5	In Agram gefühlt. Die Hauptphase besteht aus Schwingungen mit 1 <sup>a</sup> Periode, die sich über solche von 4—6 <sup>a</sup> Periode lagern. In Plauen schwach aufgezeichnet.	
99.	9. Okt.	Iv	e i i L M F	6 56 53 6 57 53 6 58 9 6 58 20 6 58 30 7 5 —	1,25 1,25 — 6	12,5	In Agram gefühlt. Der vorigen sehr ähnliche Aufzeichnung. In Plauen deutlich aufgezeichnet.	
100.	21. Okt.	IIIu	e i S e L M M F	0 49 55 0 51 45 0 57 10 1 1 45 1 7 15 1 10 50 1 13 30 1 16 45 3 — —	4 6 8 8 18 230 380 36	1 1 12 8 — 5 5 140 18	Beben von zerstörender Heftigkeit in Belutschistan. In Plauen kräftig aufgezeichnet, drei Maxima im Hauptbeben.	

## Tafelerklärung.

Die Zeitangaben sind an auf mitteleuropäische Zeit korrigierten Minutenmarkierungen eingetragen worden.

*P* bedeutet, wie in den vorstehenden Tabellen, die ersten Vorfäuser,

*S* die zweiten Vorfäuser,

*L* das Hauptbeben.

Die gemessenen Wellen (vgl. die Tabellen) sind durch kleine Kreuze (×) kenntlich gemacht worden.

No.	Datum	Qualitäts-	Phasen	Zeiten (MEZ) h m s	Perio- den sek.	Amplituden		Bemerkungen
						NS	μ <i>OW</i>	
101.	28. Okt.	I	e <i>M</i> <i>F</i>	5 38 — 5 41 — 6 — —	20	7		Lange flache Wellen, überlagert von Pulsationen.
102.	29. Okt.	I	e <i>M</i> <i>M</i> <i>F</i>	17 9 20 17 13 30 17 14 40 17 30	15 12 11	18	1 16 8	Bei der <i>OW</i> -Komponente setzt das erste <i>M</i> völlig unvermittelt ein.
103.	29. Okt.	I	e <i>M</i> <i>F</i>	18 46 — 18 48	12	9	14	
104.	31. Okt.	<i>Iu</i>	e <i>S</i> <i>e</i> <i>L</i> <i>M</i> <i>M</i> <i>F</i>	11 39 49 11 47 45 11 53 50 12 — — 12 3 — 12 8 55 13 15 —	8 12 14 50 36		1 7 15 75 95	
105.	10. Nov.	<i>IIIu</i>	<i>M</i> <i>F</i>	8 10 — 9 — —				Leipziger Pendel außer Betrieb, in Plauen sind die Vorphasen und der Anfang des Hauptbebens während des Papierwechsels verloren gegangen.
106.	13. Dez.	<i>Iv</i>	e <i>S</i> <i>L</i> <i>F</i>	1 23 34 1 24 40 1 25 30 1 30	✓ 1 ca. 1 1,25 6—8	7	10	Die Schwingungen tauchten, abgesehen von dem leidlich scharfen <i>S</i> , ganz allmählich aus den Pulsationen auf.

Erdbebenwarte zu Leipzig.  
21. Februar 1910.

## Leipziger Seismogramme aus dem Jahr 1909.

Fig. 1. Beben in Agram vom 8. Oktober,

1<sup>a</sup> Nordsüdkomponente,  
1<sup>b</sup> Ostwestkomponente.

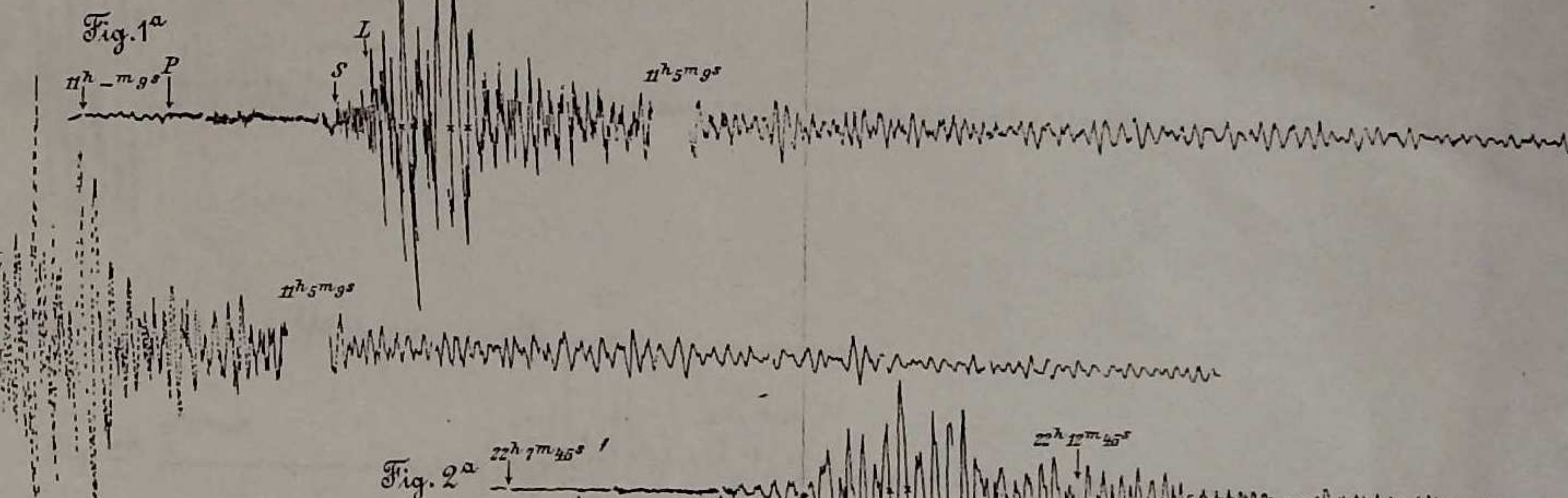


Fig. 2. Beben in Südfrankreich und an der  
französischen Riviera vom 11. Juni,

2<sup>a</sup> Nordsüdkomponente,  
2<sup>b</sup> Ostwestkomponente.

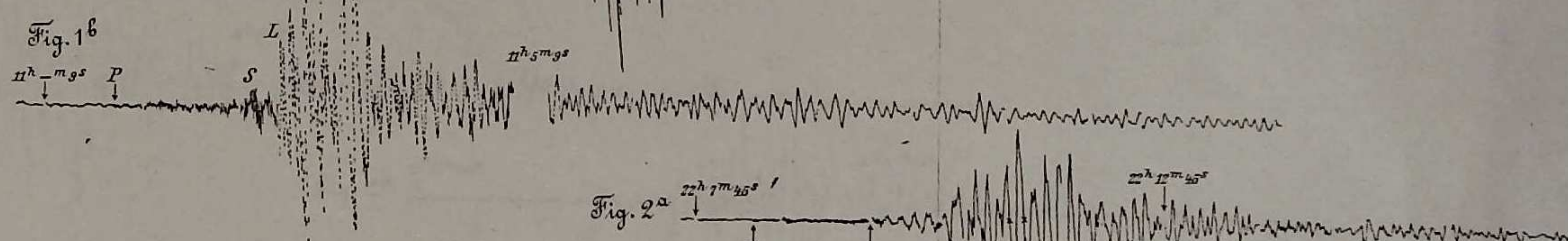


Fig. 3. Griechisches Beben vom 15. Juli,

3<sup>a</sup> Nordsüdkomponente,  
3<sup>b</sup> Ostwestkomponente.

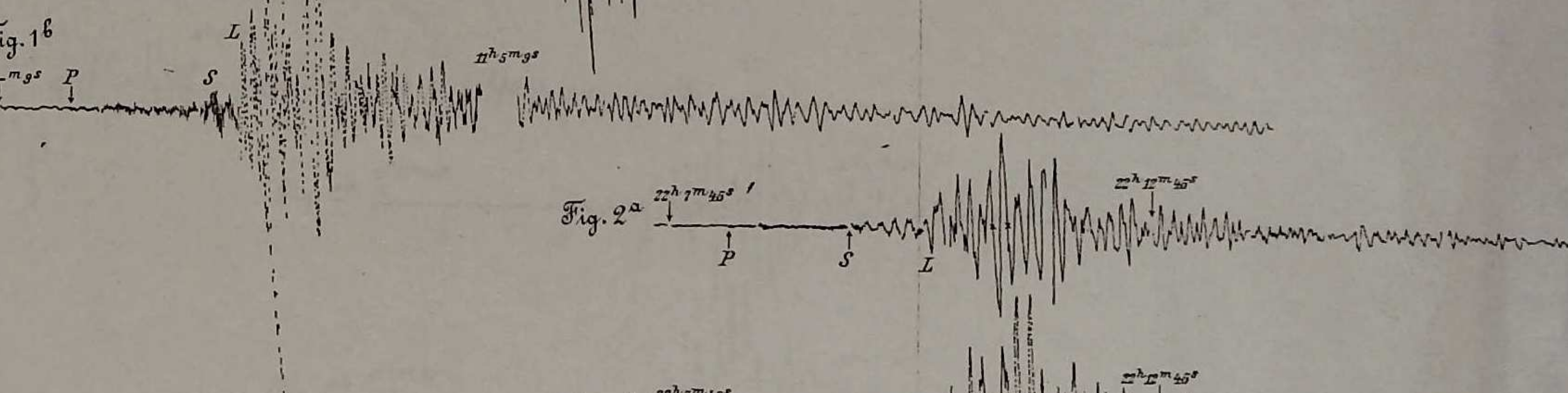


Fig. 4. Portugiesisches Beben vom 23. April,

4<sup>a</sup> Nordsüdkomponente,  
4<sup>b</sup> Ostwestkomponente.

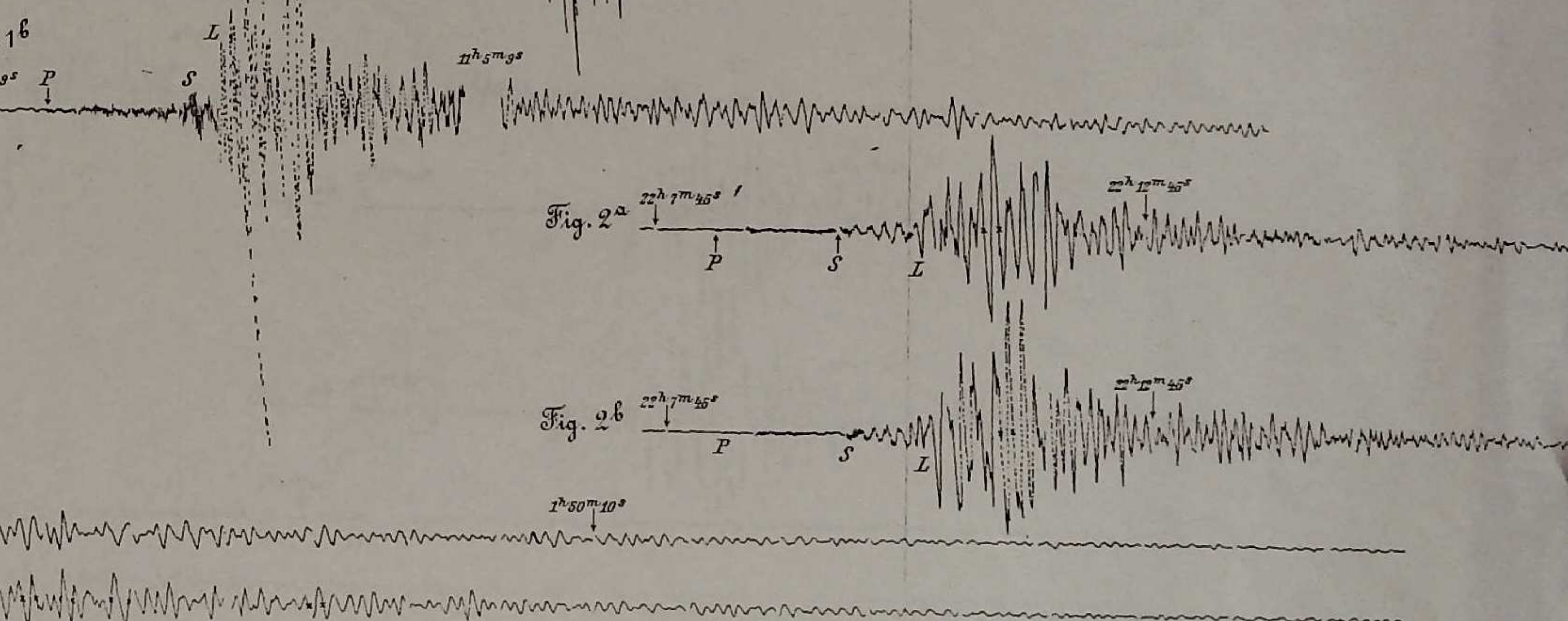


Fig. 4<sup>a</sup>

18h 43m 24s

Fig. 4<sup>b</sup>

18h 49m 24s



## Seismogramme aus dem Jahr 1909.

Fig. 1. Beben in Agram vom 8. Oktober,

1<sup>a</sup> Nordsüdkomponente,  
1<sup>b</sup> Ostwestkomponente.

Fig. 2. Beben in Südfrankreich und an der  
französischen Riviera vom 11. Juni,

2<sup>a</sup> Nordsüdkomponente,  
2<sup>b</sup> Ostwestkomponente.

Fig. 3. Griechisches Beben vom 15. Juli,

3<sup>a</sup> Nordsüdkomponente,  
3<sup>b</sup> Ostwestkomponente.

Fig. 4. Portugiesisches Beben vom 23. April,

4<sup>a</sup> Nordsüdkomponente,  
4<sup>b</sup> Ostwestkomponente.

